

抛物型方程的一个新的 GE-3 并行算法

曹俊英^{1,2} 田应福¹ 王自强¹

(¹贵州民族学院 理学院, 贵阳 550025; ²厦门大学 数学科学学院, 厦门 361005)

摘要: 利用 *Saul'yev* 格式和它的对称格式及一个绝对稳定的隐格式, 构造了一个求解抛物型方程的分组显式 (GE-3) 并行算法, 该算法的截断误差为 $O(\tau + h^2)$, 条件稳定. 数值例子验证了理论分析的有效性.

关键词: 抛物型方程, 并行算法, 截断误差, 稳定性条件

中图分类号 O175.26 文献标识码 A 文章编号 1003-6563(2010)01-0012-04

A New GE-3 Parallel Algorithm for the Parabolic Equation

CAO Jun-ying TIAN Ying-fu WANG Zi-qiang

(¹College of Sciences, Guizhou College for Nationalities, Guiyang 550025, China; ²School of Mathematical Science, Xiamen University, Xiamen 361005, China)

Abstract Using a scheme, its symmetric scheme and an implicit differencing scheme of absolute stability, we construct group explicit scheme (GE-3) parallel algorithm for solving parabolic equation. The truncation error of this algorithm is $O(\tau + h^2)$ with stability conditions. A numerical example shows that the schemes are effective.

Key words parabolic equation, parallel algorithm, order of truncation, stability condition

1 引言

通过对抛物型方程的研究, 我们知道, 对于显格式, 由于它具有天然的并行性, 因此可以作为并行格式来利用 (杨情民, 1981; 金承日, 1991; 胡健伟等, 1991); 对于半显格式, 它虽然不是显格式, 但是在实际计算过程中却是显式计算, 从而使计算量大为减少, 在并行算法的研究中有着重要的作用 (张莉等, 2004; 曹俊英, 2007); 对于隐格式, 由于用它来逼近抛物型方程时需要解一个大型的方程组, 如何采用隐格式来构造并行算法, 这是一个新的难题, 对于这方面的研究 (周顺兴, 1982; 刘庆富等, 2005)。较

少本文用绝对稳定的 *Saul'yev* 格式及对称形式和一个 2 层 6 点绝对稳定的隐格式设计了一个分组显式 GE-3 格式, 该格式, 截断误差为 $O(\tau + h^2)$, 稳定性条件为 $\frac{1}{6} \leq r \leq \frac{5}{6}$ 。文中的数值例子验证了该并行格式理论分析的正确性。

2 差分格式的构造

考虑一维抛物型方程初边值问题:

$$\begin{cases} \frac{\partial u}{\partial t} = \sigma \frac{\partial^2 u}{\partial x^2}, & 0 \leq x \leq L, t > 0, \sigma > 0 \\ u(x, 0) = \varphi(x), & 0 \leq x \leq L \\ u(0, t) = u(L, t) = 0 & t \geq 0 \end{cases} \quad (1)$$

取时间步长为 τ , 空间步长为 $h = \frac{L}{M}$ (M 为整数),

对区域 $[0, L] \times [0, T]$ 做矩形剖分, 其中: $x_j = jh, t_n =$

收稿日期: 2008-04-05; 修回日期: 2009-05-26

基金项目: 贵州省科技厅基金项目 (黔科合 J 字 [2008] 2122 号) 资助。

作者简介: 曹俊英 (1981-), 女, 博士生, 讲师。研究方向: 微分方程数值解。E-mail: caojunying1000@126.com

$n\tau$ 并令 $[u]_j^n = u(x_j, t_n)$, u_j^n 是 $[u]_j^n$ 的近似值。

当问题 (1) 的解充分光滑时, 有如下关系式成立:

$$\frac{\partial^{m+n} u}{\partial x^m \partial t^n} = \sigma^n \frac{\partial^{m+2n} u}{\partial x^{m+2n}} \quad (2)$$

其中 m, n 为非负整数. 利用 $r = \frac{\sigma\tau}{h^2}$, 由文 (张宝琳等, 1999), 得 *Saul'yev* 格式为:

$$(1+r)u_j^{n+1} - ru_{j+1}^{n+1} = (1-r)u_j^n + ru_{j-1}^n \quad (3)$$

该格式绝对稳定, 精度为 $O(\tau h + \tau + h^2)$.

根据对称性可得其对称格式为:

$$(1+r)u_j^{n+1} - ru_{j-1}^{n+1} = (1-r)u_j^n + ru_{j+1}^n \quad (4)$$

(4) 的精度和稳定性条件同 (3).

利用文 (张天德, 2000) 构造二层 6 点的隐格式为:

$$(1-6r)u_{j-1}^{n+1} + (10+12r)u_j^{n+1} + (1-6r)u_{j+1}^{n+1} = (1+6r)u_{j-1}^n + (10-12r)u_j^n + (1+6r)u_{j+1}^n \quad (5)$$

该格式绝对稳定, 精度为 $O(\tau + h^2)$.

3 GE-3 格式的构造

利用格式 (3), (4), (5) 设计格式:

$$\begin{cases} -ru_j^{n+1} + (1+r)u_{j-1}^{n+1} = (1-r)u_{j-1}^n + ru_{j-2}^n \\ (1-6r)u_{j-1}^{n+1} + (10+12r)u_j^{n+1} + (1-6r)u_{j+1}^{n+1} \\ = (1+6r)u_{j-1}^n + (10-12r)u_j^n + (1+6r)u_{j+1}^n \\ (1+r)u_{j+1}^{n+1} - ru_j^{n+1} = (1-r)u_{j+1}^n + ru_{j+2}^n \end{cases} \quad (6)$$

即:

$$\begin{pmatrix} 1+r & -r & & & \\ 1-6r & 10+12r & 1-6r & & \\ & -r & & 1+r & \\ & & & & & \\ & & & & & & \end{pmatrix} \begin{pmatrix} u_{j-1}^{n+1} \\ u_j^{n+1} \\ u_{j+1}^{n+1} \\ \vdots \\ \vdots \end{pmatrix} = \begin{pmatrix} 1+r & & & & \\ 1+6r & 10-12r & 1+6r & & \\ & & & 1-r & \\ & & & & & \\ & & & & & & \end{pmatrix} \begin{pmatrix} u_{j-1}^n \\ u_j^n \\ u_{j+1}^n \\ \vdots \\ \vdots \end{pmatrix} + \begin{pmatrix} ru_{j-2}^n \\ 0 \\ ru_{j+2}^n \\ \vdots \\ \vdots \end{pmatrix}$$

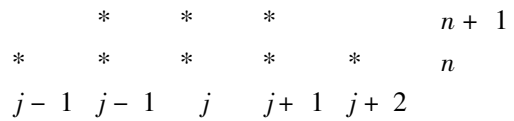
数值 $u_{j-1}^{n+1}, u_j^{n+1}, u_{j+1}^{n+1}$ 可由第 n 层的 5 个点的函数值 $u_{j-2}^n, u_{j-1}^n, u_j^n, u_{j+1}^n, u_{j+2}^n$ 显式计算.

$$(*) \begin{cases} u_{j-1}^{n+1} = \frac{1}{e} (cu_{j-2}^n + du_{j-1}^n + bru_j^n + 14r^2u_{j+1}^n + aru_{j+2}^n) & (7) \\ u_j^{n+1} = \frac{1}{f} (au_{j-2}^n + 14ru_{j-1}^n + bu_j^n + 14ru_{j+1}^n + au_{j+2}^n) & (8) \\ u_{j+1}^{n+1} = \frac{1}{e} (aru_{j-2}^n + 14r^2u_{j-1}^n + bru_j^n + du_{j+1}^n + cu_{j+2}^n) & (9) \end{cases}$$

其中:

$$\begin{aligned} a &= -r(1-6r); & b &= (10-12r)(1+r); \\ c &= r(10+23r+6r^2); & d &= 10+14r-10r^2; \\ e &= (24r+10)(1+r); & f &= 24r+10 \end{aligned}$$

用图示表示为:



经过计算, 不难得到差分方程 (7), (8), (9), 分别在 $(j, n-1), (j, n), (j, n+1)$ 处的截断误差 E_1, E_2, E_3 分别如下:

$$\begin{cases} E_1 = \frac{-72r^3 + 18r^2 + 11r + 5}{6(24r+10)(1+r)} m^2 \frac{\partial^4 u}{\partial x^4} |_{j-1}^n + O(\tau^\alpha h^{\beta-2}) \\ E_2 = \frac{-72r^2 + 18r - 1}{12(12r+5)} rh^2 \frac{\partial^4 u}{\partial x^4} |_j^n + O(\tau^\alpha h^{\beta-2}) \\ E_3 = \frac{-72r^3 + 18r^2 + 11r + 5}{6(24r+10)(1+r)} m^2 \frac{\partial^4 u}{\partial x^4} |_{j+1}^n + O(\tau^\alpha h^{\beta-2}) \end{cases}$$

其中: $\alpha + \beta = 5, \beta > 2$ 因此, (*) 的截断误差为 $O(\tau + h^2)$.

4 稳定性分析:

为了方便起见, 令:

$$\begin{aligned} a_1 &= 1+r, a_2 = -r, a_3 = 1-6r, a_4 = 10+12r \\ a_5 &= 1-r, a_6 = 1+6r, a_7 = 10-12r, a_8 = r \end{aligned}$$

则 (6) 对应的矩阵形式为:

表 1 GE - 3 格式
Tab 1 GE - 3 scheme

	$j=60$	$j=120$	$j=180$	$j=240$
$r=1/3, n=100$	1.149455e-007	6.038621e-008	-1.709060e-008	-8.808126e-008
$r=1/3, n=2000$	3.224789e-007	4.250280e-007	3.539764e-007	1.369332e-007
$r=1/3, n=20000$	1.244278e-006	1.999406e-006	1.968712e-006	1.163755e-006
$r=5/6, n=100$	2.850854e-007	1.489892e-007	-4.365177e-008	-2.197270e-007
$r=5/6, n=2000$	6.634148e-007	9.404355e-007	7.815480e-007	2.481352e-007
$r=5/6, n=20000$	1.004753e-006	1.614107e-006	1.588066e-006	9.364358e-007

数值例子验证了理论分析的结果.

[REFERENCES]

- Cao JY, 2007. A New Parallel Algorithm for the Parabolic Equation [J]. *Guizhou Science*, 25(2): 27-33 (in chinese).
- Hu JW, Tang HM, 1991. Numerical Methods of Differential Equations[M]. Science Press, Beijing 167-173 (in chinese).
- Hu JG, 1984. The estimates of and the optimally scaled matrix [J]. *Journal of Computational Mathematics*, 2: 122-129 (in chinese).
- Jin CR, 1991. High Accuracy Explicit Difference Schemes for Solving the Parabolic Equation [J]. *Mathematica Numerica Sinica*, (1): 38-44 (in chinese).
- Liu QF, Zhong WJ, 2005. Parallel Algorithms of Accelerative Iteration for Solving Implicit Difference Equations [J]. *Numerical Mathematics A Journal of Chinese Universities*, 27(3): 258-266 (in chinese).
- LiGY, Sui J, 1989. A Parallel Numerical Solution for the Parabolic Equations [J]. *Acta Scientiarum Naturalium Universitatis Nankaiensis*, 9(3): 9-18 (in chinese).
- Wu HM, 1982. An Elementary Proof of Schur-Cohn theorem and Miller Theorem for Quadratic polynomial's Root [J]. *Journal on Numerical Methods and Computer Applications*, (1): 63-64 (in chinese).
- Zhang L, Zhang DK, 2004. Combinatorial Difference Quotient Method for Solving Parabolic Equation [J]. *Journal of Guizhou University (Natural Science)*, 21(4): 349-353 (in chinese).
- Zhang BL, Gu TX, Mo ZY, 1999. Principle and Method of Numerical Parallel Computation [M]. National Defense Industry Press, Beijing 189-204 (in chinese).
- Zhang TD, 2000. On the Difference Schemes of $U_t = aU_{xx}$ [J]. *Journal of Shandong University of Technology*, 30(2): 172-177 (in chinese).
- Zhang BL, 1992. Initial Boundary Value Problem of Solving Parallel Finite Difference Method [J]. *Communication on Applied Mathematics and Computation*, 6(1): 53-65 (in chinese).
- Zhou SX, 1982. High Accuracy Difference Schemes for Solving the Partially Differentiate Equation [J]. *Mathematica Numerica Sinica*, (2): 204-213 (in chinese).

[附中文参考文献]

- 曹俊英, 2007. 抛物型方程的一个新的并行算法 [J]. *贵州科学*, 25(2): 27-33
- 胡健伟, 汤怀民, 1991. 微分方程数值方法 [M]. 北京: 科学出版社 1: 167-173
- 胡家赣, 1984. $\|M^{-1}N\|$ 的估计和最优尺度矩阵 [J]. *计算数学 (外文版)*, 2: 122-129
- 金承日, 1991. 解抛物型方程的高精度显式差分格式 [J]. *计算数学*, (1): 38-44
- 刘庆富, 仲伟俊, 2005. 求解隐式差分方程的加速迭代并行算法 [J]. *高等学校计算数学学报*, 27(3): 258-266
- 黎光禹, 睦洁, 1989. 抛物型方程的一种并行数值解法 [J]. *南开大学学报 (自然科学)*, 9(3): 9-18
- 张莉, 张大凯, 2004. 解抛物型方程组合差商法 [J]. *贵州大学学报 (自然科学版)*, 21(4): 349-353
- 周顺兴, 1982. 解抛物型偏微分方程的高精度差分格式 [J]. *计算数学*, (2): 204-213
- 张宝琳, 谷同祥, 莫则尧, 1999. 数值并行计算原理与方法 [M]. 北京: 国防工业出版社: 189-204
- 张天德, 2000. 关于解 $U_t = aU_{xx}$ 的差分格式 [J]. *山东工业大学学报*, 30(2): 172-177
- 张宝琳, 1992. 并行求解初边值问题的有限差分方法研究 [J]. *应用数学与计算数学学报*, 6(1): 53-65
- 邬华谟, 1982. 二次多项式根的 Schur-Cohn 定理和 Miller 定理的初等证明 [J]. *数值计算与计算机应用*, (1): 63-64